

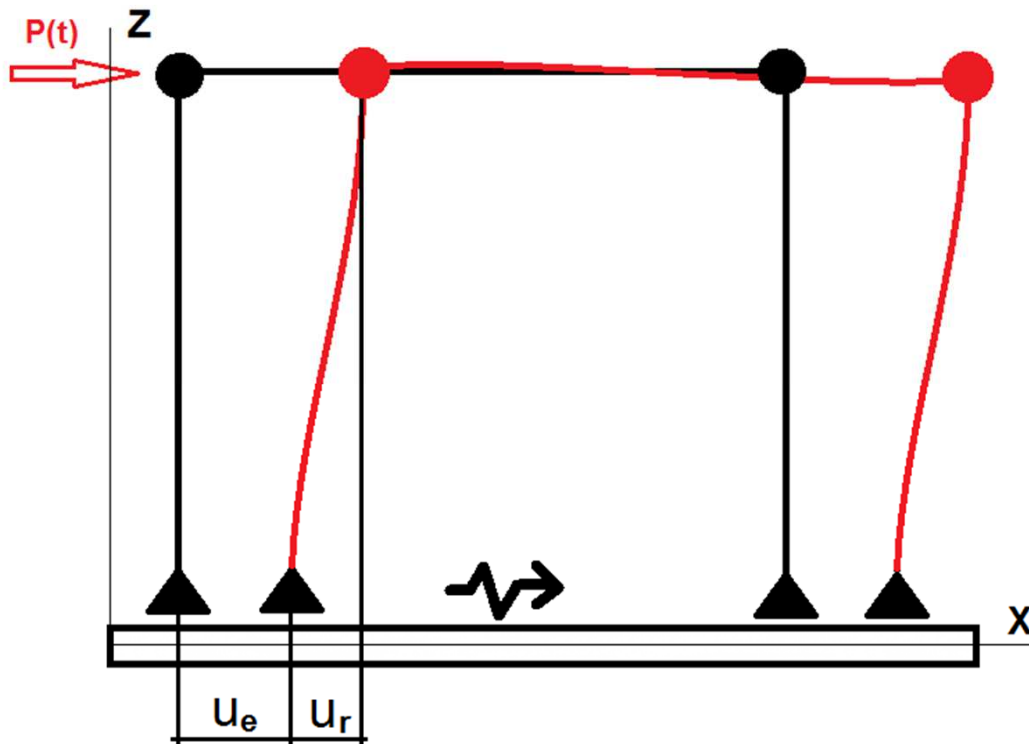
# **Интегрирование уравнений движения в системе SCAD**

С. Ю. Фиалко

Технический университет  
«Краковская политехника»

# Постановка задачи

1. Классическая – задача решается в системе отсчета, связанной с подвижной платформой.



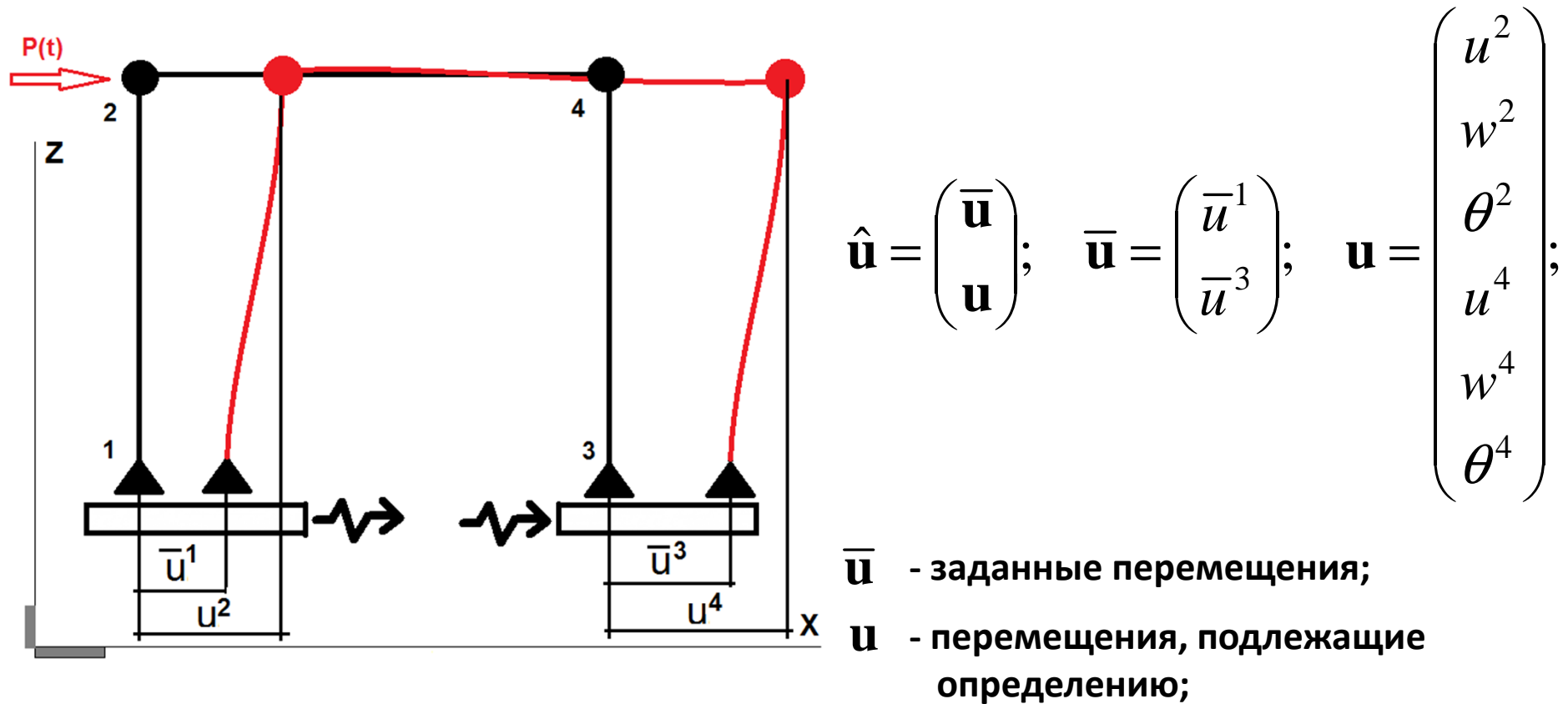
$$\mathbf{u} = \mathbf{u}_e + \mathbf{u}_r;$$

$$\ddot{\mathbf{u}} = \ddot{\mathbf{u}}_e + \ddot{\mathbf{u}}_r;$$

$$\mathbf{M}\ddot{\mathbf{u}}_r + \mathbf{K}\mathbf{u}_r = -\mathbf{M}\ddot{\mathbf{u}}_e + \mathbf{p}(t)$$

# Постановка задачи

2. Постановка задачи в абсолютных координатах дает возможность естественным образом рассматривать асинхронное возмущение опор



## Постановка задачи

Уравнения движения в абсолютных координатах:

$$\underbrace{\begin{pmatrix} 0 & 0 \\ 0 & \mathbf{M} \end{pmatrix}}_{\hat{\mathbf{M}}} \cdot \begin{pmatrix} \ddot{\bar{\mathbf{u}}} \\ \ddot{\mathbf{u}} \end{pmatrix} + \underbrace{\begin{pmatrix} \mathbf{K}_{11} & \mathbf{K}_{12} \\ \mathbf{K}_{21} & \mathbf{K} \end{pmatrix}}_{\hat{\mathbf{K}}} \cdot \begin{pmatrix} \bar{\mathbf{u}} \\ \mathbf{u} \end{pmatrix} + \underbrace{\begin{pmatrix} \mathbf{C}_{11} & \mathbf{C}_{12} \\ \mathbf{C}_{21} & \mathbf{C} \end{pmatrix}}_{\hat{\mathbf{C}}} \cdot \begin{pmatrix} \dot{\bar{\mathbf{u}}} \\ \dot{\mathbf{u}} \end{pmatrix} = \begin{pmatrix} 0 \\ \mathbf{p}(t) \end{pmatrix} \quad (1)$$

Здесь  $\hat{\mathbf{K}}, \hat{\mathbf{M}}, \hat{\mathbf{C}}$  - Матрицы жесткости, масс и диссипации, соответствующие полным векторам перемещений, ускорений и скоростей  $\hat{\mathbf{u}}, \ddot{\hat{\mathbf{u}}}, \dot{\hat{\mathbf{u}}}$ .

$\mathbf{M}, \mathbf{K}$ , – матрицы масс и жесткости, относящиеся к степеням свободы, подлежащим определению (стандартные матрицы МКЭ), матрица  $\mathbf{K}_{12}$  собирается из подматриц жесткостей конечных элементов, узлы которых содержат степени свободы вектора перемещений  $\bar{\mathbf{u}}$ .

$\mathbf{p}(t)$  – вектор нагрузки.

## Постановка задачи

Гипотеза Рэлея:  $\hat{C} = \alpha \cdot \hat{M} + \beta \cdot \hat{K}$  (2)

Здесь  $\alpha, \beta$  – коэффициенты пропорциональности, причем слагаемое  $\alpha M$  отвечает за демпфирование по нижним модам, а  $\beta K$  – по верхним.

Подставляем (2) в (1):

$$M(\ddot{u} + \alpha \cdot \dot{u}) + K(u + \beta \cdot \dot{u}) = -K_{21}(\bar{u} + \beta \cdot \dot{\bar{u}}) + p(t) \quad (3)$$

Если в классической постановке вынужденное смещение опор представляется обычно акселерограммой, то в предлагаемой постановке задается функция перемещений, а функция скорости определяется в результате численного дифференцирования последней.

## Постановка задачи

Пусть 
$$\bar{\mathbf{u}} = \sum_{s=1}^{M_s} \mu_s \cdot \mathbf{k}_s \cdot f_s(t - t_0^s), \quad \dot{\bar{\mathbf{u}}} = \sum_{s=1}^{M_s} \mu_s \cdot \mathbf{k}_s \cdot \dot{f}_s(t - t_0^s)$$

где  $\mathbf{k}_s$  – вектор пространственной конфигурации, задающие форму вынужденных смещений,  $f_s(t)$  – функция времени,  $s = 1, 2, \dots, M_s$  - номера статических нагрузок при расчете на соответствующие вынужденные смещения.

Аналогично 
$$\mathbf{p}(t) = \sum_{p=1}^{N_p} \mu_p \cdot \mathbf{k}_p \cdot f_p(t - t_0^p),$$
 где  $p = 1, 2, \dots, N_p$  - номера

статических нагрузок при расчете на силовые воздействия,  $\mathbf{k}_p$  – векторы пространственной конфигурации нагрузки,  $f_p(t)$  – функция времени.

Величины  $\mu_s, t_0^s, \mu_p, t_0^p$  задают начальный множитель и время запаздывания.

## Постановка задачи

Будем называть каждое слагаемое приведенных выше сумм соответственно  $p$ -ой или  $s$ -ой составляющей динамического нагружения. Обозначим

$$\mathbf{b}_s = -\mathbf{K}_{21} \cdot \mathbf{k}_s, \quad s = 1, 2, \dots, M_s$$

Приведенная ниже задача Коши описывает уравнения движения в изложенной постановке

$$\left\{ \begin{array}{l} \mathbf{M}(\ddot{\mathbf{u}} + \alpha \cdot \dot{\mathbf{u}}) + \mathbf{K}(\mathbf{u} + \beta \cdot \dot{\mathbf{u}}) = \sum_{s=1}^{M_s} \mathbf{b}_s \cdot \mu_s \cdot [f_s(t - t_0^s) + \beta \cdot \dot{f}_s(t - t_0^s)] + \sum_{p=1}^{N_p} \mathbf{k}_p \cdot \mu_p \cdot f_p(t - t_0^p) \\ \mathbf{x}(0) = \mathbf{x}_0 \\ \dot{\mathbf{x}}(0) = \dot{\mathbf{x}}_0 \end{array} \right. \quad (4)$$

## Определение параметров демпфирования

Обычно из эксперимента известно модальное демпфирование в процентах от критического  $\xi_j$ ,  $i=1, 2, \dots, N_{modes}$ .

Разложим вектор перемещений по формам собственных колебаний:

$$\alpha + \beta\omega_i^2 = 2\xi_i\omega_i, i = 1, 2, \dots, N_{modes} \quad (5)$$

Для нахождения неизвестных  $\alpha$ ,  $\beta$  воспользуемся уравнением (5) для  $i = 1, 2$ :

$$\alpha = \frac{2\omega_1\omega_2(\xi_1\omega_2 - \xi_2\omega_1)}{\omega_2^2 - \omega_1^2} \quad \beta = \frac{2(\xi_2\omega_2 - \xi_1\omega_1)}{\omega_2^2 - \omega_1^2} \quad (6)$$

Формулы (6) работают при  $\omega_2 \neq \omega_1$ .



## Определение параметров демпфирования

**Параметр  $\alpha$  отвечает за затухание по низким модам, а  $\beta$  – по высоким. Важно учитывать и тот, и другой.**

Часто принимается упрощение  $\beta = 0$ . При этом не учитывается демпфирование по верхним модам, поэтому динамическая реакция системы может оказаться существенно завышенной (до 2-х раз и более).

Модели демпфирования, реализованные в методе разложения по формам собственных колебаний, и при прямом интегрировании с использованием гипотезы Рэлея, вообще говоря, разные. Это видно из неоднозначности нахождения параметров  $\alpha$ ,  $\beta$  из (5), поскольку, задавая разные значения пар индекса  $i$ , будем получать разные значения  $\alpha$ ,  $\beta$ . Однако для большинства практических задач метод разложения по формам собственных колебаний и методы прямого интегрирования дают близкие результаты, если и тот, и другой применены корректно.

# Метод Ньюмарка

Для решения задачи используется безусловно устойчивый вариант метода Ньюмарка в форме «предиктор-корректор».

Весь временной интервал разбивается на конечное число шагов

$$Nstep = T_{dur} / \Delta t + 1, \quad T_{dur} = t_{end} - t_{start}$$

В пределах одной задачи шаг интегрирования сохраняется постоянным.

Перепишем уравнение движения (4) в виде:

$$\mathbf{M}(\mathbf{a} + \alpha \cdot \mathbf{v}) + \mathbf{K}(\mathbf{u} + \beta \cdot \mathbf{v}) = \mathbf{f}_{ext}, \quad \mathbf{a} = \ddot{\mathbf{u}}, \quad \mathbf{v} = \dot{\mathbf{u}}.$$

## Алгоритм решения

1. Формируем динамическую матрицу  $\mathbf{K}_{dyn} = \left( \frac{4}{\Delta t^2} + \frac{2\alpha}{\Delta t} \right) \mathbf{M} + \left( 1 + \frac{2\beta}{\Delta t} \right) \mathbf{K}$
2. Раскладываем ее по Холецкому  $\mathbf{K}_{dyn} = \mathbf{L}_{dyn} \cdot \mathbf{L}_{dyn}^T$

## Метод Ньюмарка

3. Начальные условия:  $k = 1$ ;  $\mathbf{u}_k = \mathbf{u}_0$ ;  $\mathbf{v}_k = \mathbf{v}_0$ ;

4.  $k = 1, 2, \dots, Nstep$

5. Предиктор:

$$\begin{cases} \mathbf{u}_{k+1}^0 = \mathbf{u}_k + \Delta t \cdot \mathbf{v}_k + \frac{\Delta t^2}{4} \cdot \mathbf{a}_k \\ \mathbf{v}_{k+1}^0 = \mathbf{v}_k + \frac{\Delta t}{2} \cdot \mathbf{a}_k \\ \mathbf{a}_{k+1} = 0 \end{cases}$$

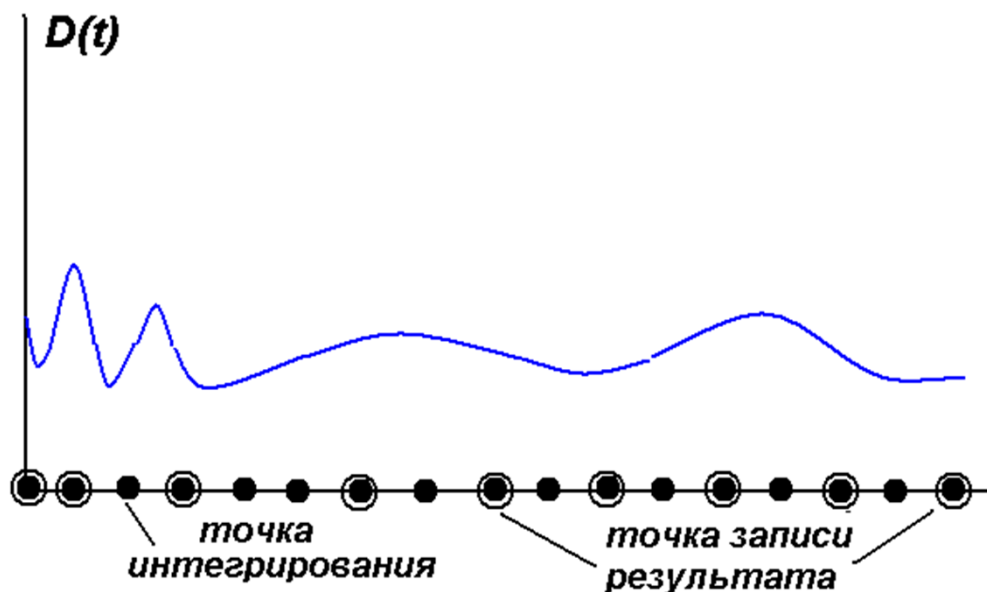
6. Корректор:  $\mathbf{r} = \mathbf{f}^{ext} - \mathbf{M} \cdot (\mathbf{a}_{k+1} + \alpha \mathbf{v}_{k+1}) - \mathbf{K} \cdot (\mathbf{u}_{k+1} + \beta \mathbf{v}_{k+1})$

$$\mathbf{L}_{dyn} \cdot \mathbf{L}_{dyn}^T \cdot \Delta \mathbf{u} = \mathbf{r} \rightarrow \Delta \mathbf{u}$$

$$\begin{cases} \mathbf{u}_{k+1} = \mathbf{u}_{k+1}^0 + \Delta \mathbf{u} \\ \mathbf{a}_{k+1} = \frac{4}{\Delta t^2} (\mathbf{u}_{k+1} - \mathbf{u}_{k+1}^0) \\ \mathbf{v}_{k+1} = \mathbf{v}_{k+1}^0 + \frac{\Delta t}{2} \mathbf{a}_{k+1} \end{cases}$$

# Метод Ньюмарка

Запись результатов (перемещений, скоростей, ускорений) производится в моменты времени, совпадающие с точками интегрирования.



Обычно для достижения приемлемой точности решения шаг интегрирования назначается значительно меньше шага выдачи результатов расчета. Результаты можно формировать как с постоянным шагом, так и с переменным, важно лишь, чтобы они были кратными шагам интегрирования.

## Рекомендации по назначению важнейших параметров

1. Создать статические загрузки, с которых будут собираться массы для динамического анализа.
2. Создать статические загрузки (силовые и кинематические), которые задают пространственную конфигурацию динамических нагрузок.
3. Подготовить текстовые файлы, задающие функции времени.
4. Выполнить анализ собственных частот и форм колебаний, проанализировать результаты.
5. Шаг интегрирования назначить из соображений  $[0.01 - 0.001] T_1$ , где  $T_1$  – период первого тона.

## **Рекомендации по назначению важнейших параметров**

- 6. Если о динамическом поведении конструкции ничего не известно, то шаг выдачи результатов рекомендуется назначить равномерным, величина - примерно через 5 – 100 шагов интегрирования по времени.**
- 7. Выполнить динамический анализ. Проанализировать перемещения контрольных узлов и усилия в контрольных конечных элементах.**
- 8. Сгустить шаг интегрирования в 5 - 10 раз и при тех же точках выдачи результата повторить расчет.**
- 9. Сравнить результаты двух расчетов по перемещениям контрольных узлов и усилиям в контрольных элементах. Если расхождение небольшое, второй результат считать как окончательный.**

## **Рекомендации по назначению важнейших параметров**

- 10. Если расхождение значительное, снова уменьшить шаг интегрирования и повторить расчет. И так до тех пор, пока разница между двумя расчетами не окажется достаточно малой.**
- 11. Подкорректировать шаг выдачи результатов и выполнить окончательный расчет.**
- 12. При реализации алгоритма используется техника разреженных матриц, поэтому численный алгоритм интегрирования по времени работает достаточно быстро, что позволяет решать задачу с малым шагом интегрирования.**
- 13. Значительное время занимает запись результатов в точках его выдачи и дальнейшее определение усилий. Поэтому без особой необходимости не следует сохранять результаты необоснованно часто.**

## **Расчет большепролетной арки на вынужденное смещение опор**

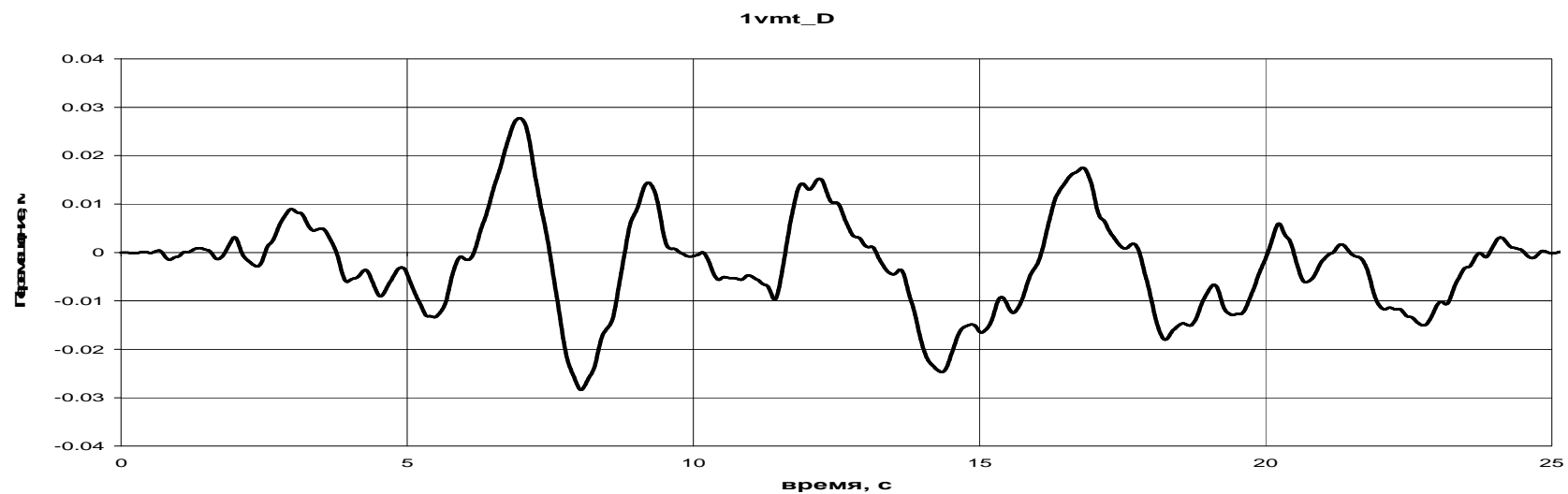
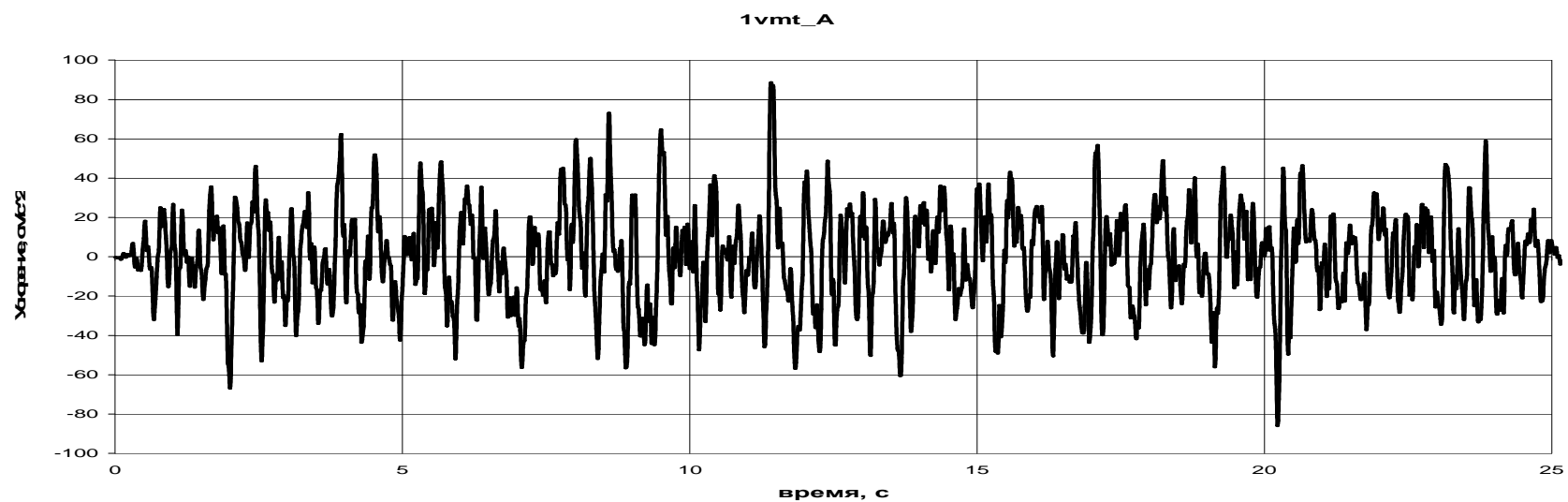
**При расчете большепролетных конструкций на заданное вынужденное смещение опор следует учитывать тот факт, что скорость распространения возмущений в грунте является конечной, и входное воздействие, описываемое одной и той же функцией времени, достигает разных опор в различные моменты времени.**

**В рассматриваемом примере пролет сооружения равен 257 м, а скорость распространения сейсмической волны в грунте – 80 м/с . Пусть возмущение в грунте распространяется от левой опоры к правой. Тогда для левой опоры время запаздывания равно 0, а для правой опоры –  $257/80 = 1.29$  с.**

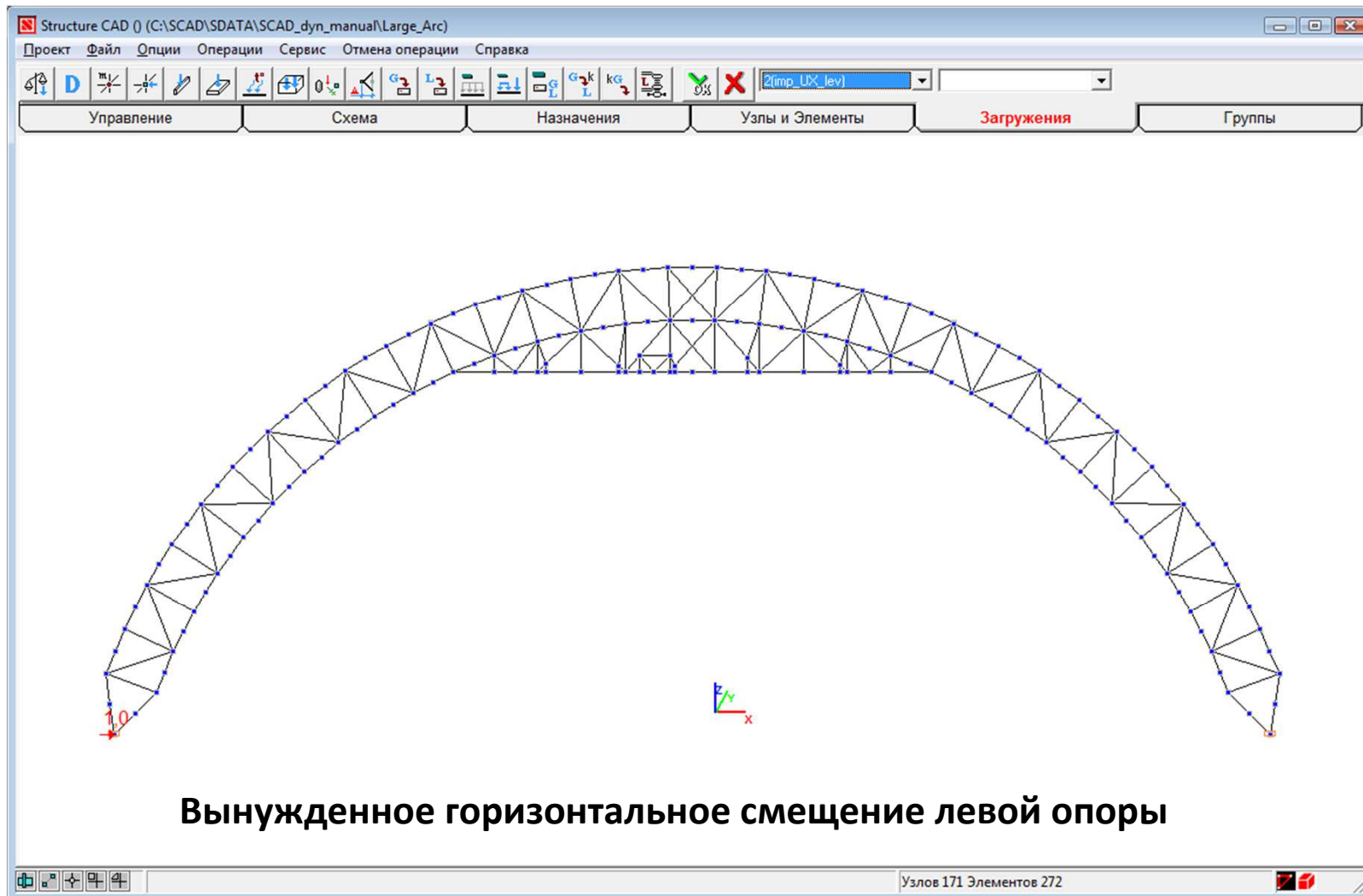
**По заданной акселерограмме определяется функция перемещений, приведенная на рис. Для этого можно воспользоваться редактором акселерограмм, входящим в состав комплекса SCAD.**



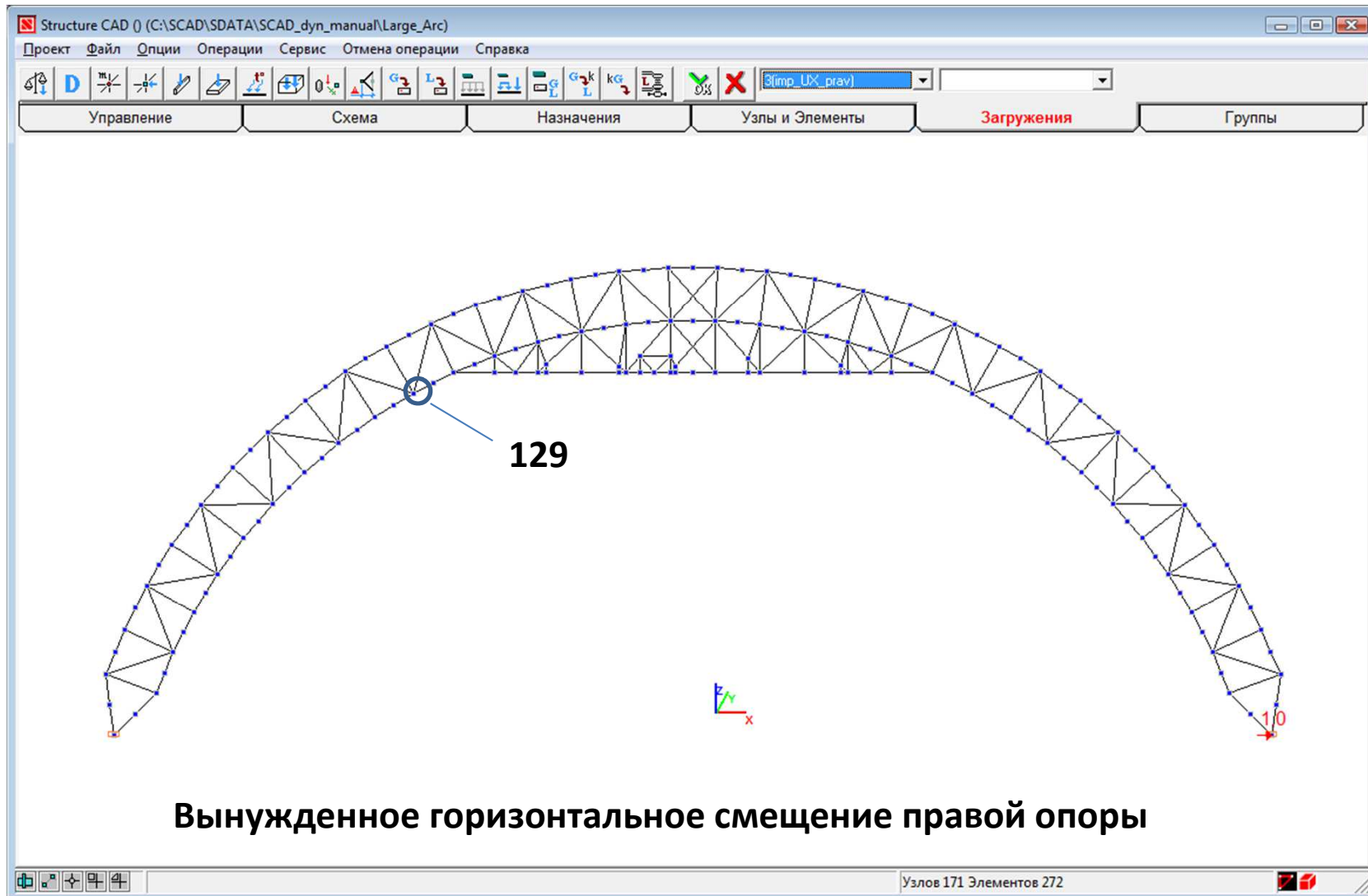
# Расчет большепролетной арки на вынужденное смещение опор



# Расчет большепролетной арки на вынужденное смещение опор



# Расчет большепролетной арки на вынужденное смещение опор



# Расчет большепролетной арки на вынужденное смещение опор

Параметры динамических воздействий

Ввод параметров динамической нагрузки | Прямое интегрирование уравнений движения

Тип выбора шага интегрирования  
 автоматический

Шаг интегрирования: 0.001

Продолжительность процесса: 105

Моменты времени для выдачи результатов

Модальное демпфирование  
1-я частота: 0.05  
2-я частота: 0.05  
(в долях от критического)

0 0.05

Время запаздывания: 1.29    Множитель: 0.01     Продолжение расчета

Статическое загрузеие: 3(imp\_UX\_    Функция времени: C:\SCAD\SDATA\SCAD\_dyn\_manual\1M1-H.tx

Добавить

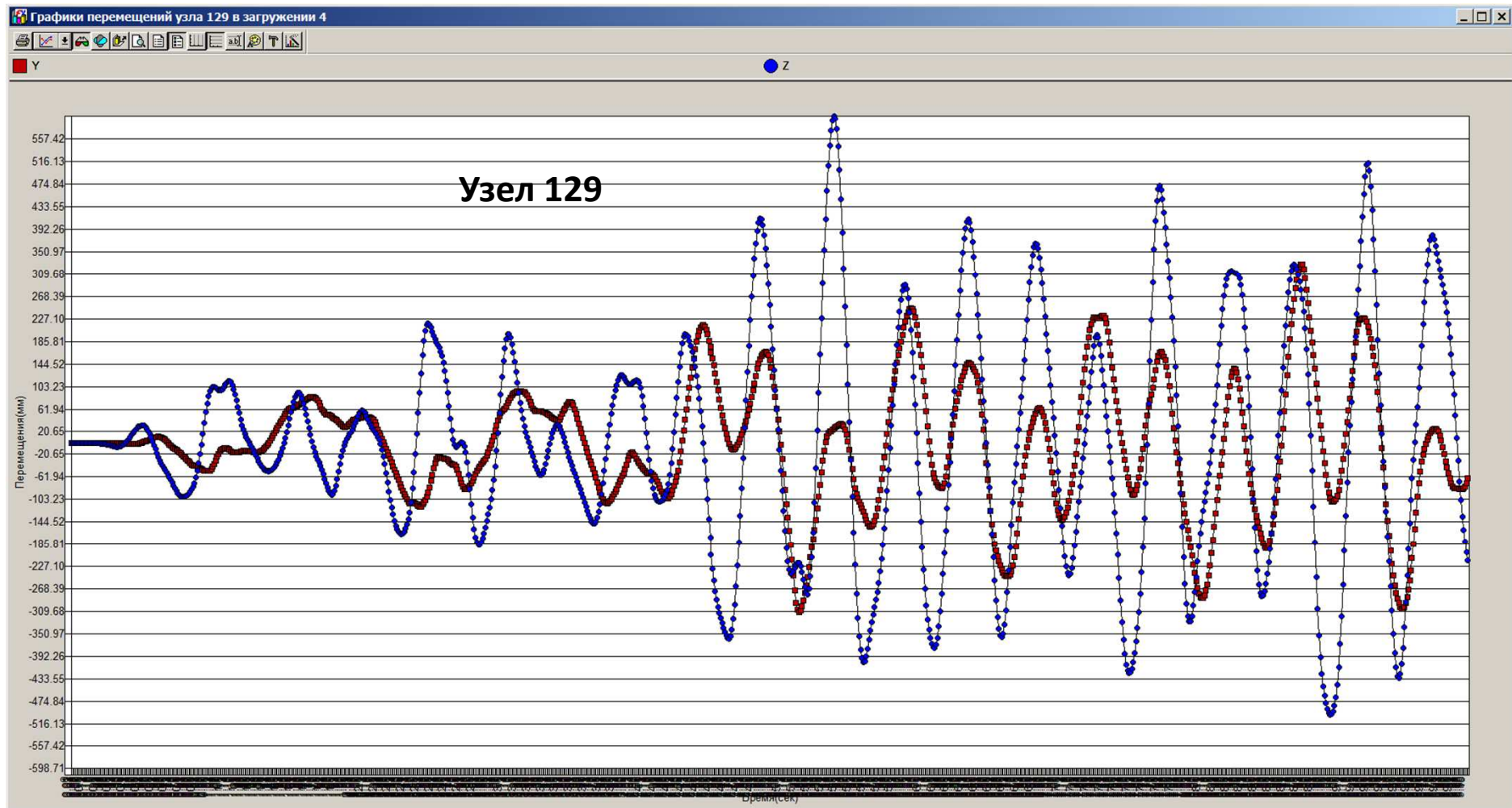
Удалить

2	0.01	0	"C:\SCAD\SDATA\SCAD_dyn_manual\1M1-H.txt"
3	0.01	1.29	"C:\SCAD\SDATA\SCAD_dyn_manual\1M1-H.txt"

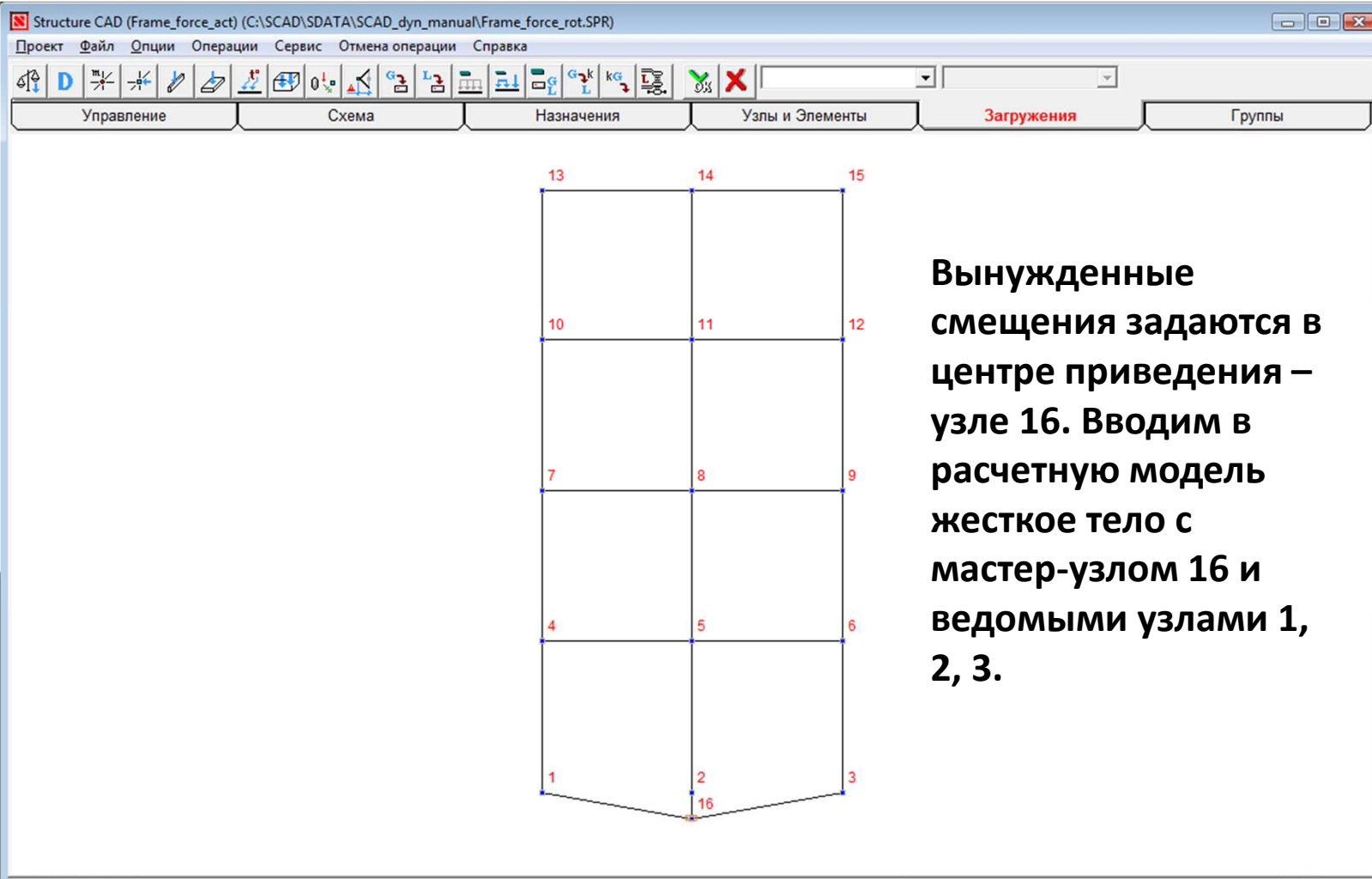
OK    Отмена    Справка

Масштабные множители 0.01 появились вследствие того, что в файле, задающем функцию времени, вынужденные перемещения представлены в см.

# Расчет большепролетной арки на вынужденное смещение опор



# Расчет плоской рамы на сейсмическое воздействие с учетом поворотов основания



Structure CAD (Frame\_force\_act) (C:\SCAD\SDATA\SCAD\_dyn\_manual\Framе\_force\_rot.SPR)

Проект Файл Опции Операции Сервис Отмена операции Справка

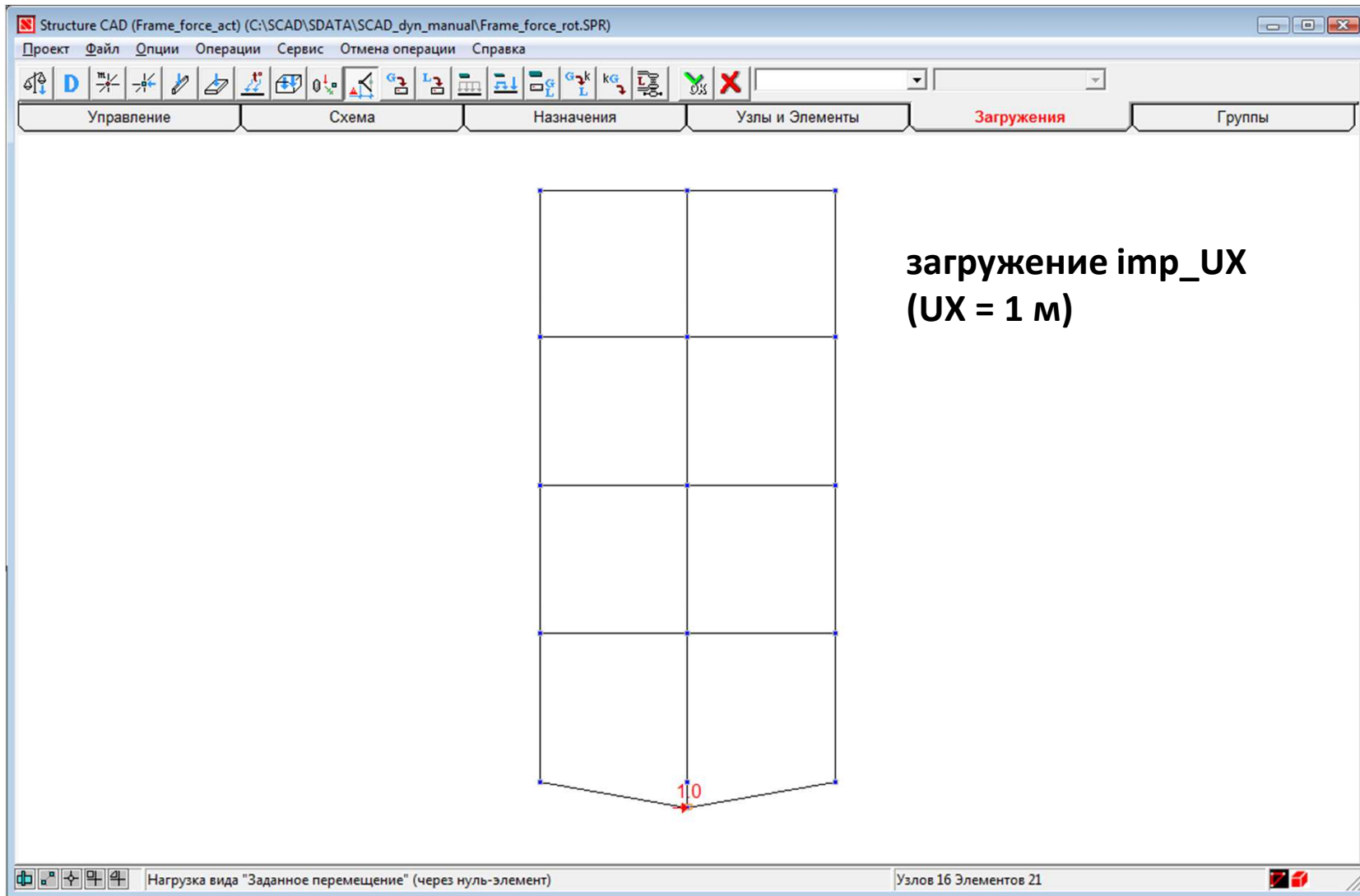
Управление Схема Назначения Узлы и Элементы **Загрузки** Группы

13 14 15  
10 11 12  
7 8 9  
4 5 6  
1 2 3  
16

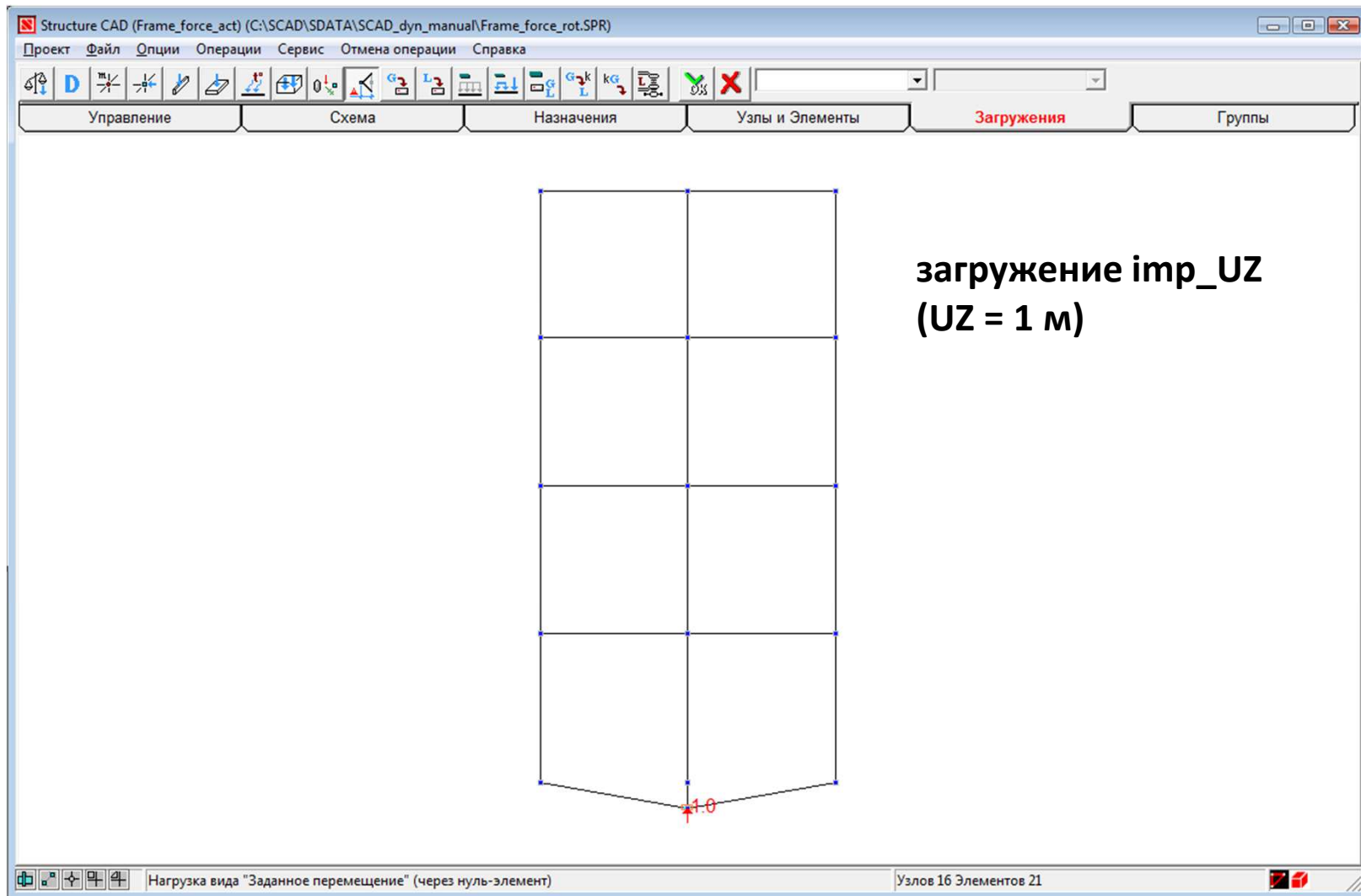
Узлов 16 Элементов 21

**Вынужденные смещения задаются в центре приведения – узле 16. Вводим в расчетную модель жесткое тело с мастер-узлом 16 и ведомыми узлами 1, 2, 3.**

# Расчет плоской рамы на сейсмическое воздействие с учетом поворотов основания

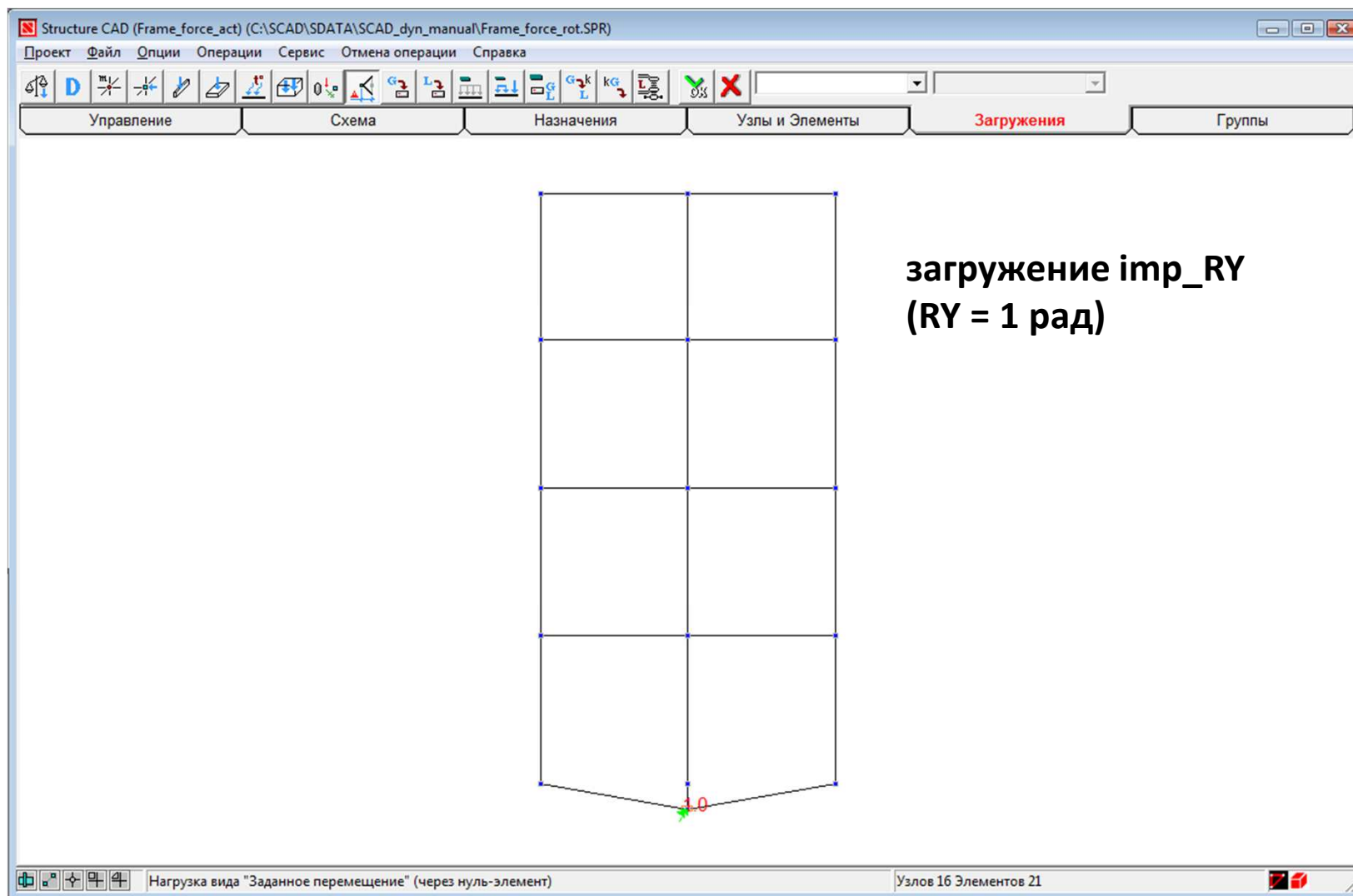


# Расчет плоской рамы на сейсмическое воздействие с учетом поворотов основания

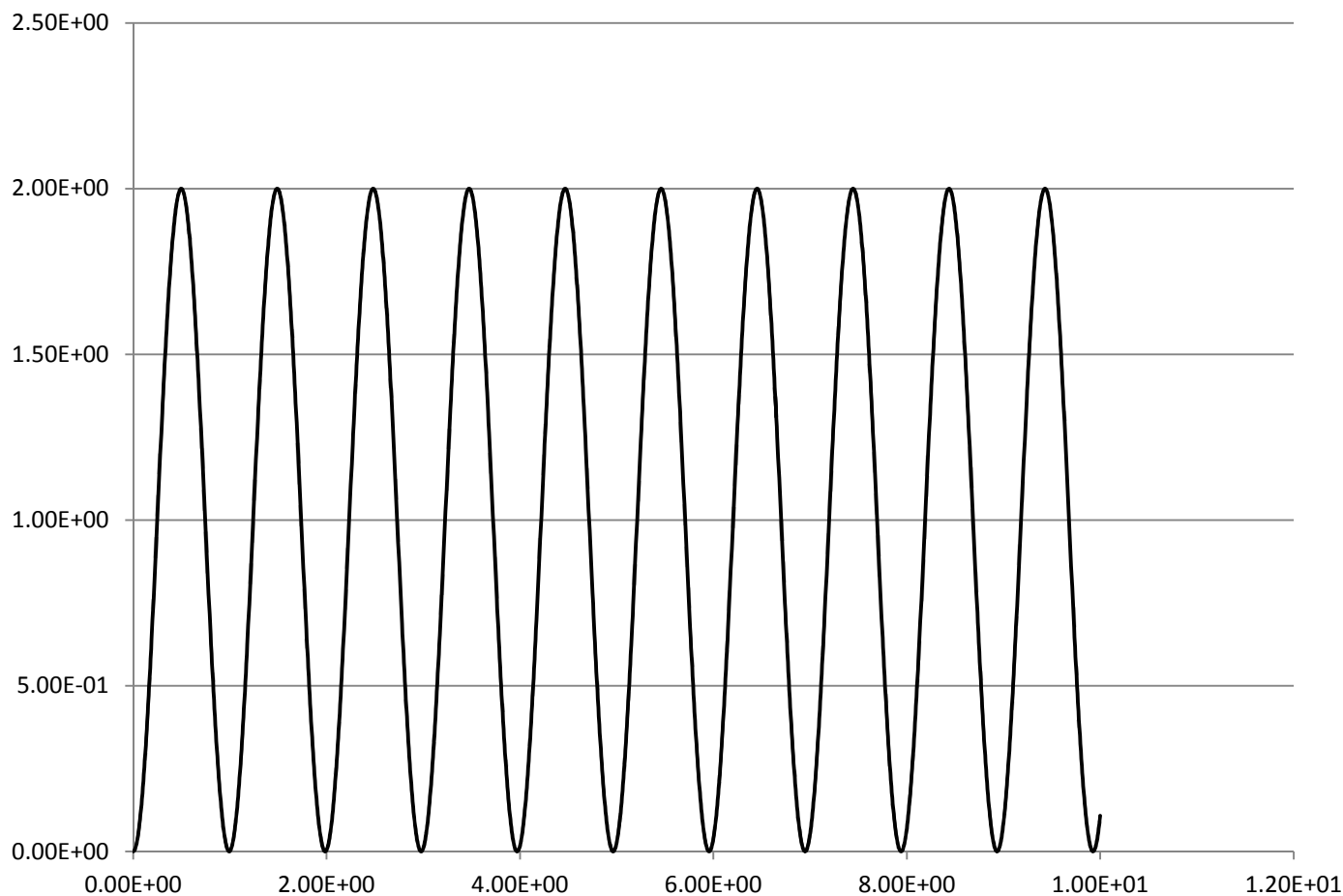




# Расчет плоской рамы на сейсмическое воздействие с учетом поворотов основания



# Расчет плоской рамы на сейсмическое воздействие с учетом поворотов основания



Функция времени TimeHist

# Расчет плоской рамы на сейсмическое воздействие с учетом поворотов основания

Параметры динамических воздействий

Ввод параметров динамической нагрузки | Прямое интегрирование уравнений движения

Тип выбора шага интегрирования  
 автоматический

Шаг интегрирования: 0.001

Продолжительность процесса: 5

Моменты времени для выдачи результатов

0 0.05

Модальное демпфирование  
1-я частота: 0.05  
2-я частота: 0.05  
(в долях от критического)

Время запаздывания: 0    Множитель: 1     Продолжение расчета

Статическое загрузеие: 1(d)    Функция времени: [ ]

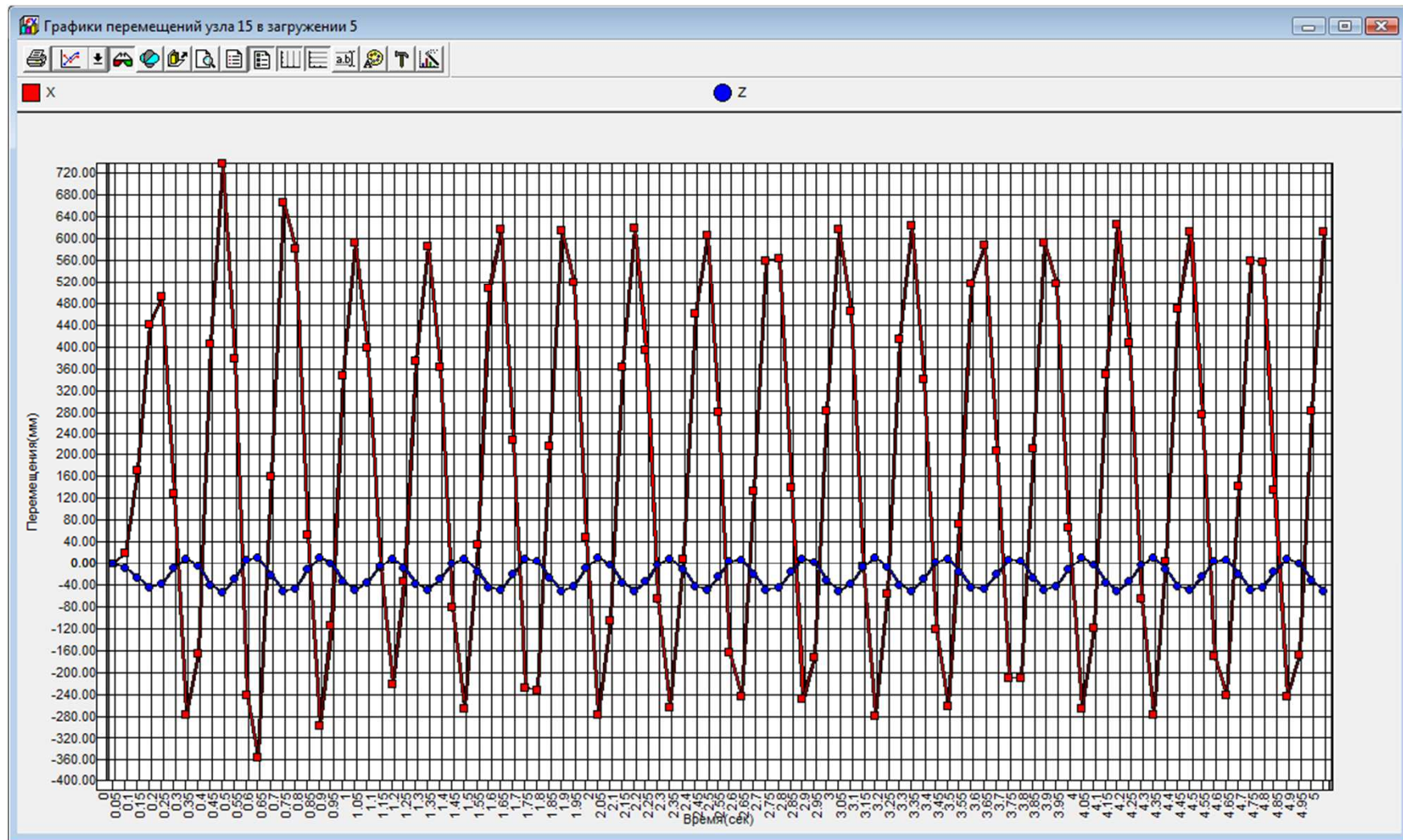
Добавить

Удалить

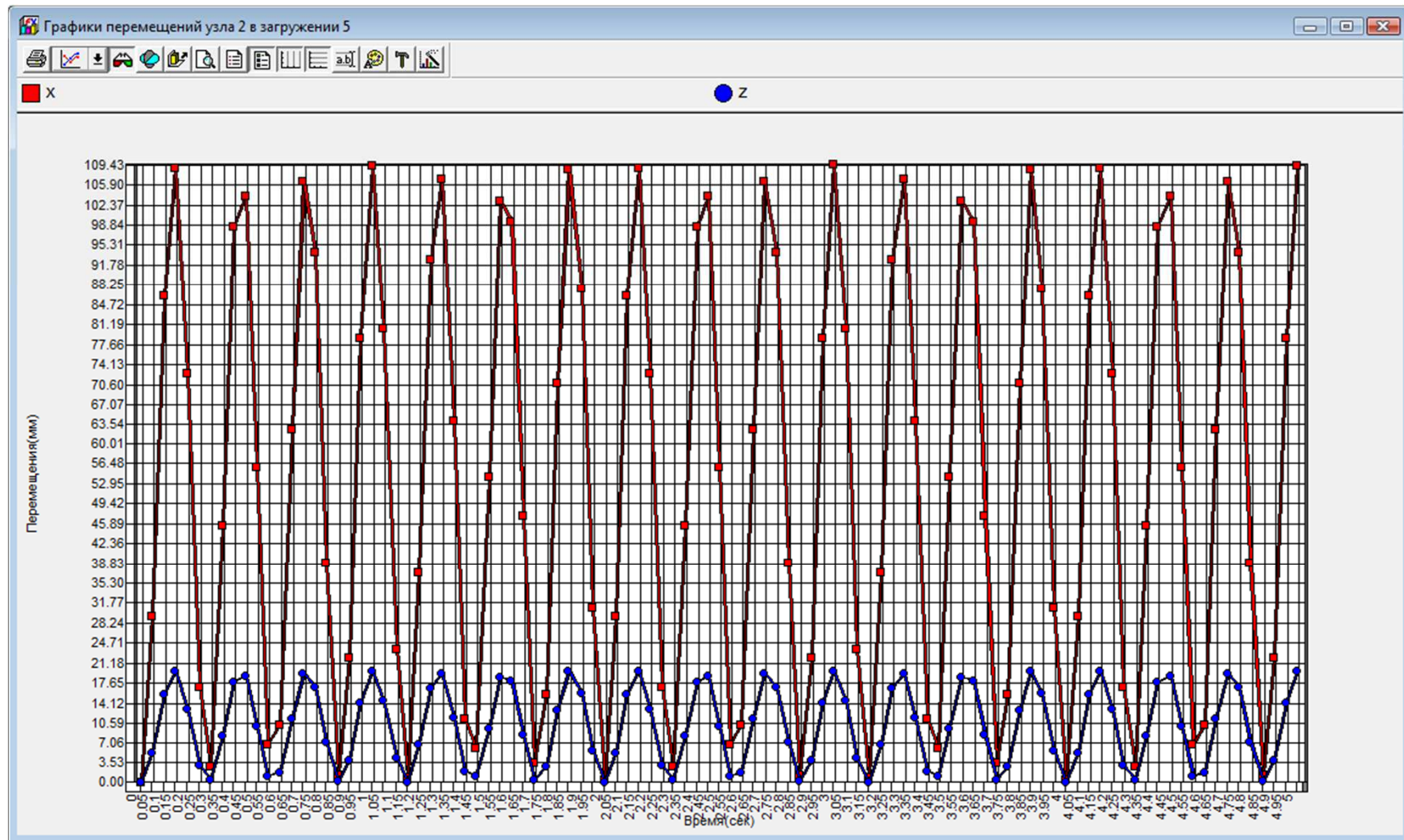
2	0.05	0	"C:\SCAD\SDATA\SCAD_dyn_manual\thist.tht.txt"
3	0.01	0	"C:\SCAD\SDATA\SCAD_dyn_manual\thist.tht.txt"
4	0.01	0	"C:\SCAD\SDATA\SCAD_dyn_manual\thist.tht.txt"

OK    Отмена    Справка

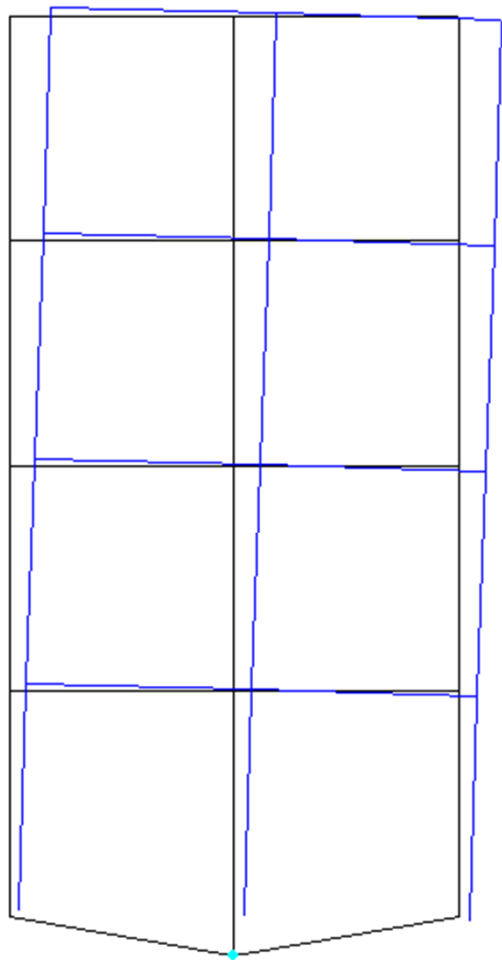
# Расчет плоской рамы на сейсмическое воздействие с учетом поворотов основания



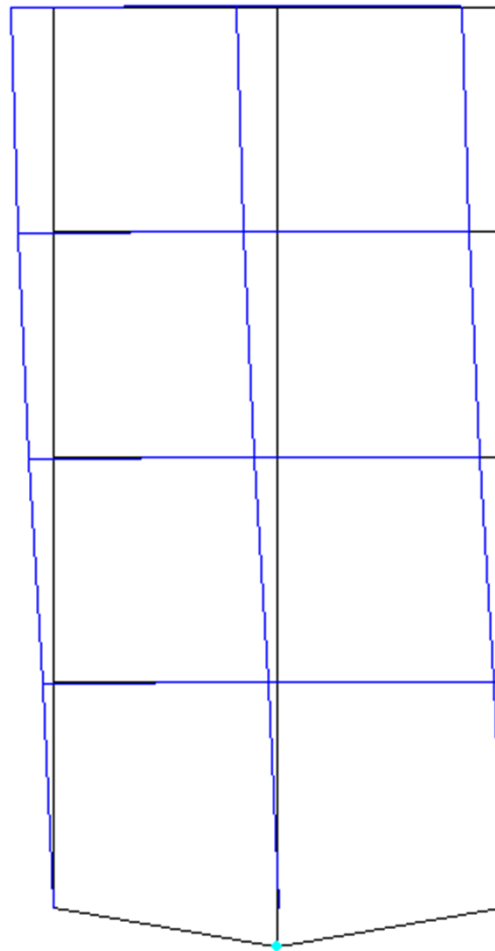
# Расчет плоской рамы на сейсмическое воздействие с учетом поворотов основания



# Расчет плоской рамы на сейсмическое воздействие с учетом поворотов основания



$t=0.15$  с



$t=0.30$  с

Деформированная схема  
в определенные  
моменты времени